

# ИССЛЕДОВАНИЕ АСИММЕТРИЧНОГО ОДНОКОЛЬЦЕВОГО КОАКСИАЛЬНОГО ЦИЛИНДРИЧЕСКОГО РЕЗОНАТОРА

*В. Е. Буданов, А. А. Кириленко, В. Ф. Шинкаренко*

Харьков, Славянск

Как известно, в технике СВЧ лучшими резонаторами с точки зрения точного изготовления и получения большой добротности являются цилиндрические. В них настройка на широкий диапазон частот осуществляется перемещением торцевой пластины вдоль оси резонатора, т. е. изменением действующей длины (высоты) цилиндра. Однако возможности подбора соответствующих дисперсионных характеристик в такой простой системе довольно ограничены, так как ее свойства зависят только от двух параметров: диаметра и длины. Интересно проследить, как изменяет спектр частоты и конфигурацию поля введение дополнительных параметров в виде колец.

Задача о нахождении резонансных частот и соответствующих им собственных электромагнитных полей для структуры, изображенной на рис. 1, имеет самостоятельный практический и теоретический интерес в связи с возможностью эффективного использования резонаторов в генераторах и усилителях миллиметровых волн, а также фильтрах типов волн, мультиплексерах умножителях частоты и т. п. Кроме того, такие системы, изготовленные специальным образом, применяются для исследований при низких температурах.

В работе [1] в строгой постановке рассмотрена задача об отыскании собственных частот и собственных колебаний асимметричного однокольцевого коаксиального цилиндрического резонатора (рис. 1). Исходная электродинамическая задача сведена к двум скалярным задачам нахождения решений уравнений Гельмгольца с некоторыми краевыми условиями. Метод, использованный при решении скалярных задач, состоял в сведении их к задаче Римана-Гильберта теории аналитических функций. Был использован метод Э. С. Аграновича, В. А. Марченко, В. П. Шестопалова [2], позволяющий находить решения поставленных задач при произвольных параметрах системы и длинах волн. Каждая из поставленных скалярных задач сведена к нахождению решения однородной бесконечной системы линейных алгебраических уравнений второго рода с быстроубывающими коэффициентами. Неизвестными в полученной

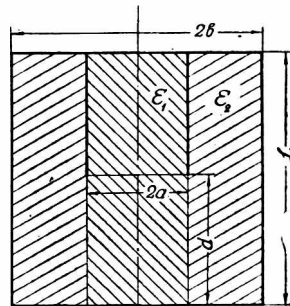


Рис. 1. Осевое сечение исследуемого резонатора.

системе являются константы разложения в ряд Фурье компонент векторов поля.

Цель настоящей работы состоит в исследовании полученного решения и определении резонансных свойств изучаемой структуры.

Рассмотрим случай магнитных волн. При этом задача о нахождении собственных полей сводится к нахождению решения следующей однородной бесконечной системы уравнений:

$$\sum_{p=1}^{\infty} [\delta_p^H \omega_s^p + \delta_{sp} (1 - \delta_p^H)] b_p = 0; \quad (1)$$

$$(s = 1, 2, 3, \dots); \quad \delta_{sp} = \begin{cases} 1, & s = p, \\ 0, & s \neq p. \end{cases}$$

Здесь сведены следующие обозначения:

$$\delta_p^H = 1 - \frac{2p J'_m(g_{1p}a)}{g_{1p} \Delta_{1a} \left[ \frac{g_{2p}}{g_{1p}} \frac{Q_m^H}{G_m^H} J'_m(g_{1p}a) - J_m(g_{1p}a) \right]} \cdot \frac{|p|}{p};$$

$$\omega_s^p = (V_s^p - V_s^{-p}) - (V_0^p - V_0^{-p}) P_s;$$

$$b_p = \beta_p g_{1p} \left[ \frac{g_{2p}}{g_{1p}} \frac{Q_m^H}{G_m^H} J'_m(g_{1p}a) - J_m(g_{1p}a) \right];$$

$$Q_m^H = H_m^{(1)}(g_{2p}a) - \frac{H_m^{(1)'}(g_{2p}b)}{J_m(g_{2p}b)} J_m(g_{2p}b);$$

$$G_m^H = H_m^{(1)'}(g_{2p}a) - \frac{H_m^{(1)'}(g_{2p}b)}{J'_m(g_{2p}b)} J'_m(g_{2p}a);$$

$$g_{1p} = \sqrt{\varepsilon_1 k^2 - h_p^2};$$

$$g_{2p} = \sqrt{\varepsilon_2 k^2 - h_p^2};$$

$$k = \frac{\omega}{c}; \quad h_p = \frac{p\pi}{L}; \quad (p = 1, 2, \dots),$$

$J_m(\rho)$ ,  $H_m^{(1)}(\rho)$ ,  $J'_m(\rho)$ ,  $H_m^{(1)'(\rho)}$  — цилиндрические функции Бесселя и Ханкеля и их производная по аргументу. Выражения для коэффициентов  $V_s^p$  получены в работе [2]. Они определяются через  $P_s(u)$  — полиномы Лежандра аргумента  $u$ , причем  $u = \cos \frac{d}{L}$ .

Собственные скалярные функции рассматриваемой задачи в первой ( $0 < r < a$ ) и второй ( $a < r < b$ ) областях соответственно имеют вид

$$U_1(r, \varphi, z) = e^{im\varphi} \sum_{p=1}^{\infty} \beta_p J_m(g_{1p}r) \sin h_p z; \quad (2)$$

$$U_2(r, \varphi, z) = e^{im\varphi} \sum_{p=1}^{\infty} [\tilde{\beta}_p H_m^{(1)}(g_{2p}r) + \bar{\beta}_p J_m(g_{2p}r)] \sin h_p z,$$

где

$$\tilde{\beta}_p = \beta_p \frac{g_{1p} J'_m(g_{1p}a)}{g_{2p} G_m^H}; \quad \bar{\beta}_p = -\tilde{\beta}_p \frac{H_m^{(1)'}(g_{2p}b)}{J'_m(g_{2p}b)}.$$

Зная функции  $U_1$  и  $U_2$ , можно определить компоненты электромагнитного поля [3].

$$\begin{aligned} E_r &= \frac{ik}{r} \frac{\partial U}{\partial \varphi}; & H_r &= \frac{\partial^2 U}{\partial r \partial z}; \\ E_\varphi &= -ik \frac{\partial U}{\partial r}; & H_\varphi &= \frac{1}{r} \frac{\partial U}{\partial \varphi \partial z}; \\ E_z &= 0; & H_z &= \frac{\partial^2 U}{\partial z^2} + k^2 \varepsilon U. \end{aligned} \quad (3)$$

Рассмотрим вначале вопрос о вычислении собственных значений и собственных векторов системы (1). Чтобы система (1) имела нетривиальное решение, необходимо, чтобы определитель, составленный из ее коэффициентов, был нормальным и равнялся нулю

$$\det \{ \delta_p^H \omega_s^p + \delta_{sp} (1 - \delta_p^H) \} = 0. \quad (4)$$

Таким образом, собственными значениями рассматриваемой задачи будут являться те значения

$$x = \frac{kL}{\pi},$$

при которых удовлетворяется равенство (4).

После опубликования работы [2] многими авторами детально исследованы возможности метода, предложенного в работе [2]. В частности, было установлено, что матричный оператор системы линейных алгебраических уравнений вида (1) является Фредгольмовым, а к самой системе применим метод усечения, состоящий в том, что бесконечную систему уравнений заменяют конечной. Найдено, что при методе усечений процесс последовательных решений сходится как  $\frac{1}{N^2}$ , где  $N$  — порядок усеченной системы. Было также установлено, что для получения решений, совпадающих с графической точностью с точным решением электродинамической задачи, в рассматриваемых бесконечных системах достаточно выделять системы порядка  $N$ , где  $N$  — число на единицу большее, чем число однородных гармоник, существующих при данном наборе параметров. В данной задаче это правило свелось к тому, что  $N$  выбиралось на единицу больше целой части

$$\{ \max (x \sqrt{\varepsilon_1}, x \sqrt{\varepsilon_2}) \}.$$

Вычислительные работы проводились на ЭВМ М-20. Вычисление элементов  $V_s^p$  не представляет особенных затруднений. Некоторую сложность вызвало нахождение цилиндрических функций, так как аргумент  $\rho$  функций Бесселя изменяется в очень большом интервале. Если  $0 < |\rho| < 10$ , то для вычисления функции Бесселя были использованы представления в виде ряда, при  $10 < |\rho| < 43$  использовались асимптотические представления. Это позволило проводить численный анализ решения данной задачи в широком диапазоне изменения параметров структуры.

При фиксированном наборе параметров и заданном начальном приближении корня  $x_0$  для нахождения точного значения корня использован метод Ньютона, состоящий в том, что  $(n+1)$  приближение корня вычисляется через  $n$  приближение по формулам

$$x_{n+1} = x_n + \frac{\Delta(x_n)}{\Delta'(x_n)}.$$

Из-за громоздкости аналитического вычисления производной  $\Delta'(x_n)$  она вычислялась численно. При выборе шага по  $x$  для численного дифференцирования мы учитывали следующее: 1) производная получается с тем большей точностью, чем меньше шаг  $\delta x$ ; 2)  $\delta x$  не может быть меньше некоторой величины, определяемой точностью вычисления самого определителя. Оптимальной оказалась величина  $\delta x = 10^{-5}$ . Если рассматривались случаи нахождения производной  $\Delta'(x_n)$  в комплексной области, то производная определялась также численно, но уже по формулам Коши-Римана.

Процесс последовательных уточнений корня считался законченным, если последняя поправка была меньше некоторой величины  $\epsilon$ . Как и следовало ожидать, оказалось, что величина  $\epsilon$ , определяющая точность корня, влияет не только на точность окончательных результатов, но и является фактором, регулирующим ход вычислительного процесса. При  $\epsilon \sim 10^{-3} \div 10^{-4}$  и определенном наборе параметров последовательные итерации могли увести вычислительный процесс в сторону от истинного значения корня. Задание же слишком высокой точности вычисления приводит к необоснованно большим затратам машинного времени. С помощью численного исследования было установлено, что наилучшей в обоих отношениях является величина  $\epsilon \sim 10^{-5}$ . При этом значение  $|\Delta(x)|$  в точке предпоследнего уточнения было не хуже  $10^{-4}$ .

Найдя при фиксированных параметрах корень системы (1), мы меняем один из параметров на небольшую величину с тем, чтобы, оставаясь в области применения метода Ньютона, найти корень системы при новых параметрах. Так как метод Ньютона при достаточно хорошем выборе начального приближения сходится квадратично, то в программе предусмотрено увеличение шага по параметру, если необходимое число итераций было меньше двух, и уменьшение шага, если число итераций было больше четырех. В целях экономии машинного времени в некоторых случаях мы производили предварительное уточнение начального приближения с помощью линейной интерполяции. Реальный шаг вычислений по параметру лежал в пределах от 0,001 до 0,032.

Отдельно следует остановиться на поисках первичного начального приближения при фиксированном диаметре резонатора  $2b$ . Ясно, что в данной задаче начальное приближение следует искать при условии, что рассматриваемый резонатор в предельных случаях  $\theta = \frac{d}{L} = 1$  и  $\theta = 0$  вырождается в цилиндрические резонаторы с известными собственными частотами.

При  $\theta = 0$  дисперсионное уравнение (1) распадается на два дисперсионных уравнения: для полого цилиндрического резонатора с диаметром, равным  $2a$ , и для коаксиального резонатора с диаметрами  $2b$  и  $2a$ . В связи с этим надо отметить, что все собственные частоты исходного резонатора можно разбить на две группы, одна из которых будет «соответствовать» полюсу цилиндрическому резонатору, а другая — коаксиальному. «Соответствовать» в том смысле, что при исчезновении щели частоты первой группы будут стремиться к соответствующим частотам полого цилиндра, а частоты второй группы — к частотам коаксиального резонатора. Оказывается, что при небольших щелях и большой величине  $\frac{a}{b}$  низкочастотную часть спектра будут составлять собственные частоты первой группы, а если  $\frac{a}{b}$  мало — второй группы.

Остановимся кратко на результатах исследований некоторых видов колебаний второй группы. Наибольший интерес в данной постановке,

естественно, представляют собственные частоты и их зависимость от геометрии резонатора. Выяснено, что геометрия структуры существенным образом влияет на собственные частоты резонатора.

На рис. 2 представлены в виде графиков  $x_{TE_{011}}$  и  $x_{TE_{021}}$  в зависимости от  $\theta$  для различных значений  $\frac{a}{b}$  и  $b = L = 1$ . Все кривые при  $\theta = 1$  сходятся к одной точке, соответствующей собственной частоте полого резонатора. С увеличением высоты внутреннего цилиндра наблю-

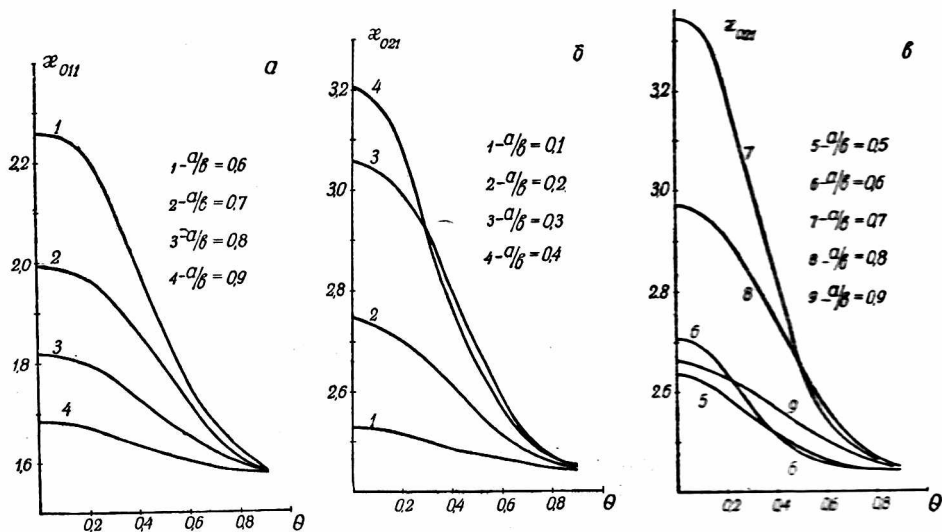


Рис. 2.  $x_{TE_{011}}$  и  $x_{TE_{021}}$  в зависимости от  $\theta$  для различных значений  $\frac{a}{b}$  при  $b = L = 1$ ;  $\epsilon_1 = \epsilon_2 = 1$ .

дается монотонный рост резонансных частот. Предельные значения при  $\theta \rightarrow 0$  равны собственным частотам коаксиального резонатора. Наибольшую крутизну имеют кривые с  $\frac{a}{b}$ , близким к 0,537 для колебания  $TE_{011}$  (рис. 2, а) и с  $\frac{a}{b} = 0,37$  и  $\frac{a}{b} = 0,75$  для колебания  $TE_{021}$  (рис. 2. б). Качественно это объясняется тем, что внутренний цилиндр именно вблизи этих значений параметра попадает в пучности поля соответствующего полого резонатора, вызывая тем самым наибольшее смещение частоты.

Это ярко иллюстрируется рис. 3, где приведены зависимости  $x_{TE_{011}}$  и  $x_{TE_{021}}$  от  $\frac{a}{b}$  для отдельных значений  $\theta$  и  $b = L = 1$ . Как и следовало ожидать, кривые в случае  $TE_{011}$  (рис. 3, а) и  $TE_{021}$  (рис. 3, б) несут соответственно однокорбый и двукорбый характер (для второго случая двукорбый вследствие существования двух пучностей поля на радиусе для колебания  $TE_{021}$  полого цилиндра).

Если  $a \rightarrow b$  или  $a \rightarrow 0$ , то соответствующие резонансные частоты колебаний  $TE_{0mp}$  стремятся к частотам полого цилиндра. При  $a \rightarrow 0$ , например, это объясняется тем, что внутренний цилиндр превращается в бесконечно тонкую нить, лежащую в нуле электрического поля.

В заключение заметим, что при колебаниях типа  $TE_{0mp}$  каждый раз, когда величина  $\frac{a}{b}$  равна  $\frac{\rho_n}{\rho_m}$ , [ $\rho_n$  —  $n$ -й корень функции  $J_1(g_{1p}a)$ ], собственная частота исследуемого резонатора при всех  $\theta$  в точности

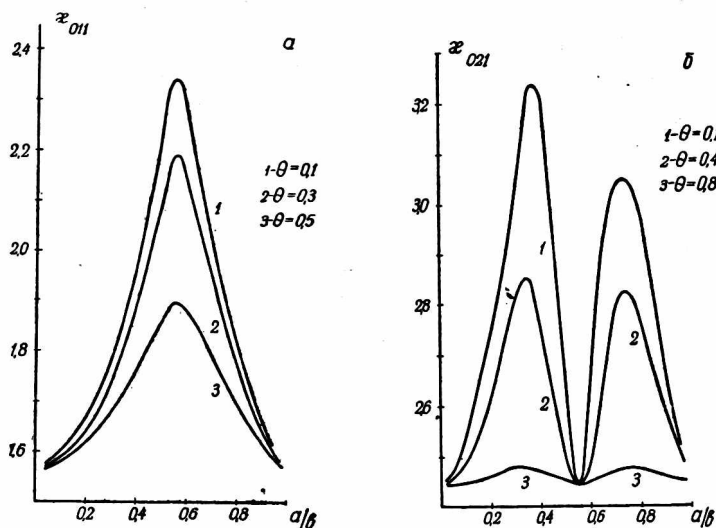


Рис. 3.  $x_{TE_{011}}$  и  $x_{TE_{021}}$  в зависимости от  $\frac{a}{b}$  для различных значений  $\theta$  при  $b = L = 1$ ;  $\epsilon_1 = \epsilon_2 = 1$ .

равна  $m$ -й частоте полого резонатора. Это происходит потому, что внутренний цилиндр (на котором должно выполняться условие равенства нулю поля), оказывается помещенным в нуль поля, т. е. граничное условие выполняется автоматически.

#### ЛИТЕРАТУРА

1. В. Ф. Шинкаренко. Радиотехника, вып. 15. Изд-во ХГУ, Харьков, 1970.
2. З. С. Агранович, В. А. Марченко, В. П. Шестопалов. ЖТФ, 32, 4, 1962.
3. Л. А. Вайнштейн. Электромагнитные волны. Изд-во «Советское радио», 1957.